



Simulazione Elettromagnetica

(per l'elettronica delle radiofrequenze)

D. Zito, Prof. B.Neri

Università di Pisa



Sommario

- Importanza della simulazione EM
- Introduzione ai simulatori EM
- Alcuni simulatori per applicazioni RF
- ASITIC: Semplice sessione



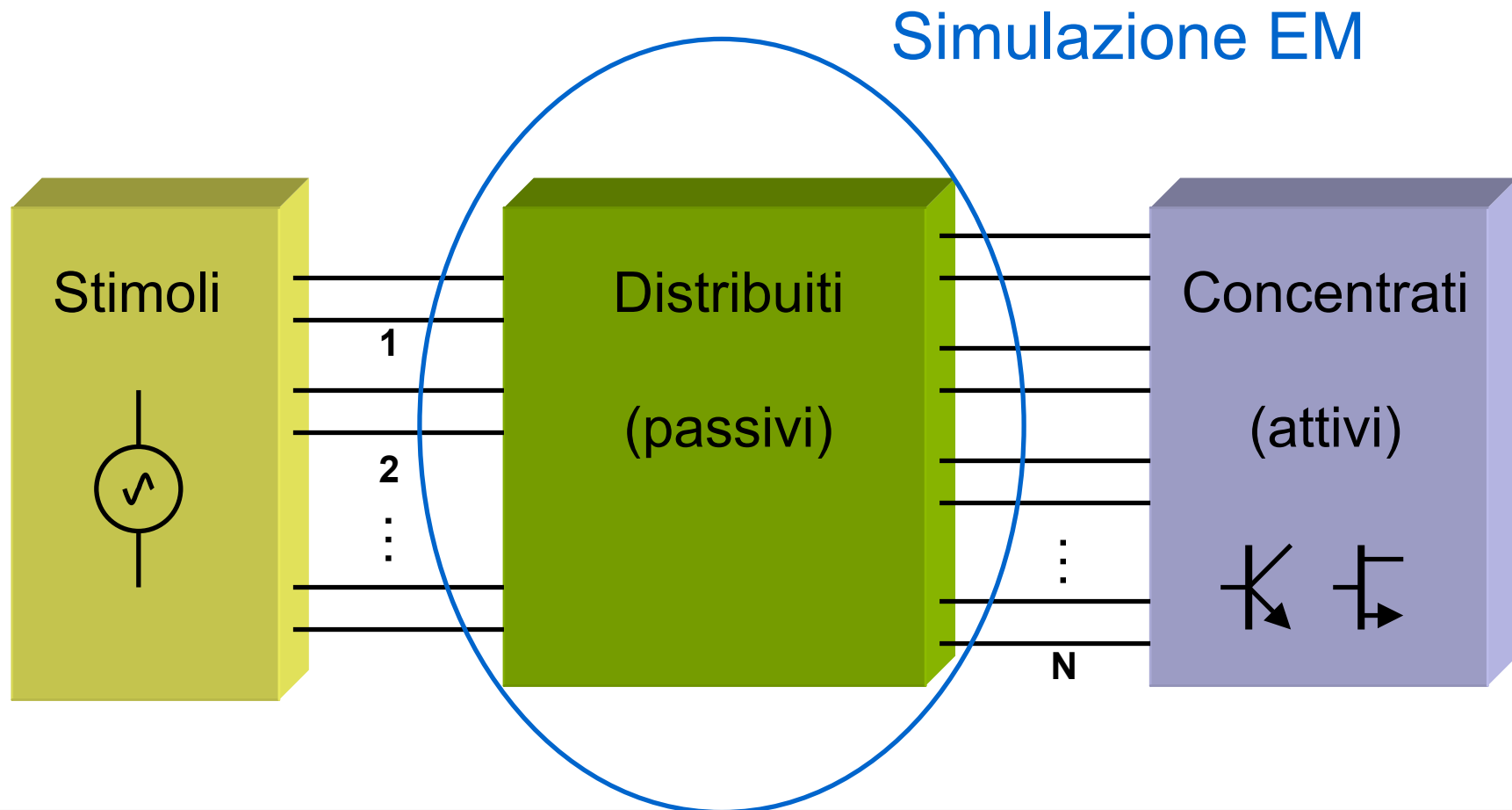
Importanza della simulazione EM

- Perché?
 - circuiti a parametri distribuiti
 - mutua interazione tra dispositivi
- Obiettivi
 - struttura di base di un moderno simulatore EM
 - progettazione di circuiti integrati a microonde



Importanza della simulazione EM

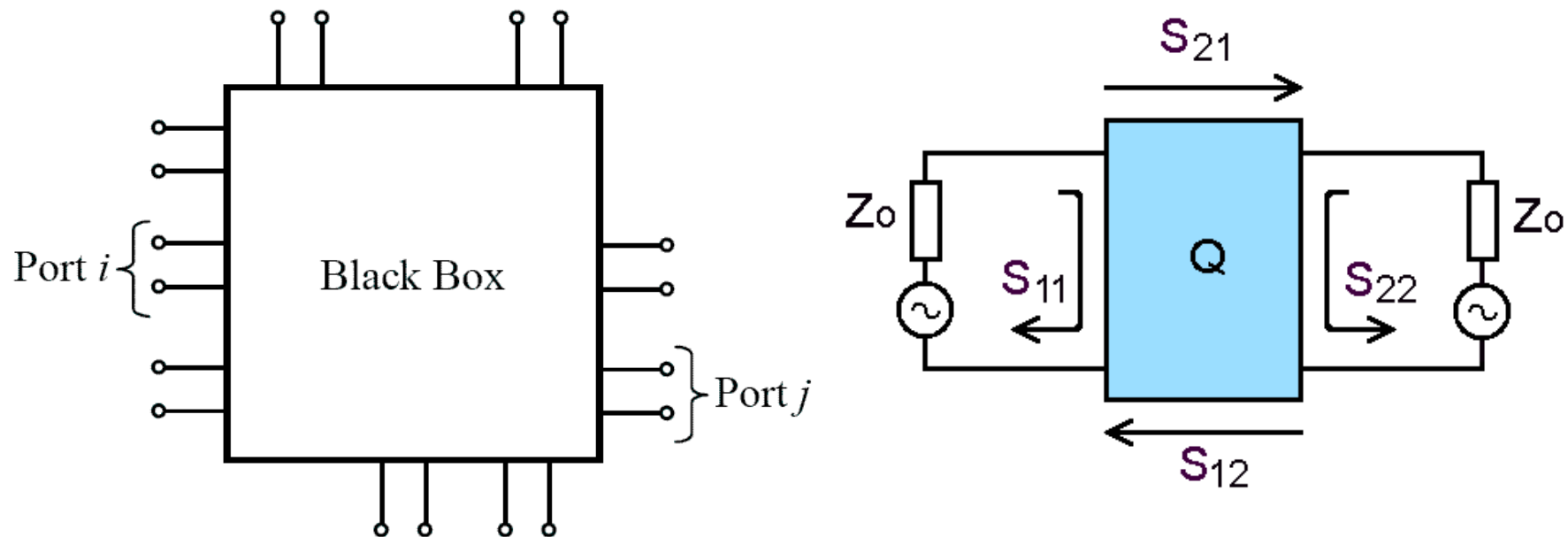
- Scenario





Importanza della simulazione EM

- Descrizioni nel dominio della frequenza: Z, Y, S

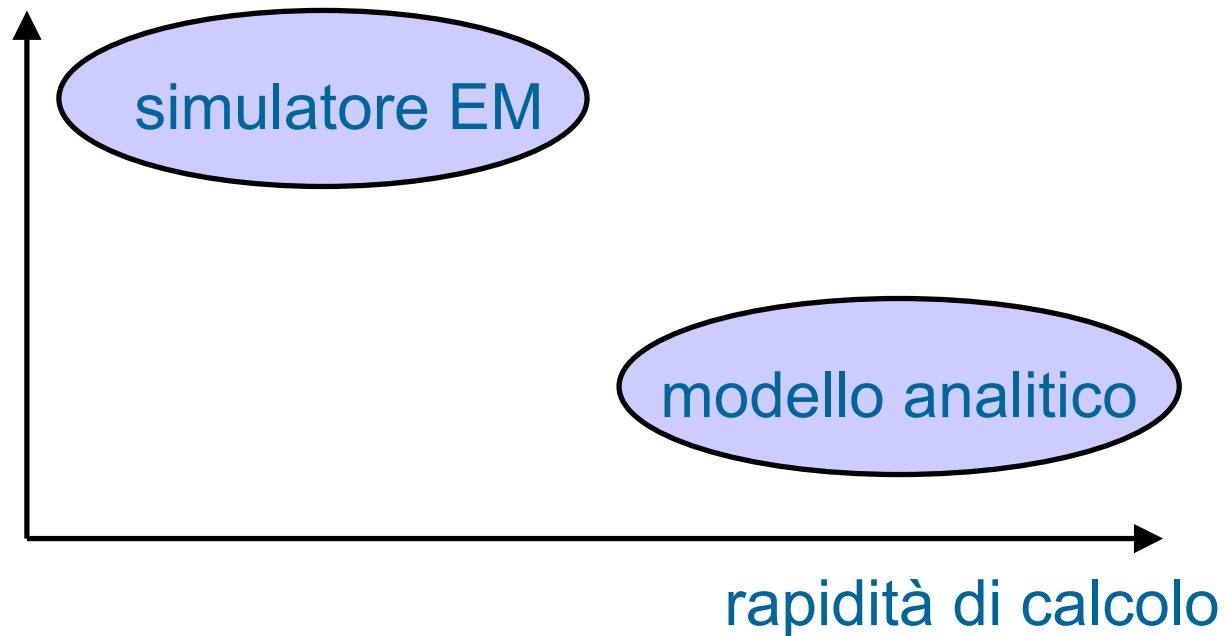




Importanza della simulazione EM

- Quale simulatore utilizzare ?

accuratezza/generalità





Agenda

- Importanza della simulazione EM
- Introduzione ai simulatori EM
- Alcuni simulatori per applicazioni RF
- ASITIC: Semplice sessione



Introduzione ai simulatori EM

- Equazioni di Maxwell

$$\vec{\nabla} \times \vec{E} = -\frac{\partial \vec{B}}{\partial t} - \vec{M}$$

$$\vec{\nabla} \times \vec{H} = \frac{\partial \vec{D}}{\partial t} + \vec{J}$$

$$\vec{\nabla} \cdot \vec{D} = \rho$$

$$\vec{\nabla} \cdot \vec{B} = 0$$

$$\oint_C \vec{E} \cdot d\vec{l} = -\frac{\partial}{\partial t} \int_S \vec{B} \cdot d\vec{s} - \int_S \vec{M} \cdot d\vec{s}$$

$$\oint_C \vec{H} \cdot d\vec{l} = +\frac{\partial}{\partial t} \int_S \vec{D} \cdot d\vec{s} + \int_S \vec{J} \cdot d\vec{s}$$

$$\oint_S \vec{D} \cdot d\vec{s} = \int_V \rho dv = Q$$

$$\oint_S \vec{B} \cdot d\vec{s} = 0$$



Introduzione ai simulatori EM

- Equazioni di Maxwell per campi sinusoidali in regime stazionario (dominio fasoriale)

$$\vec{\nabla} \times \vec{E} = -j\omega\vec{B} - \vec{M} \quad \vec{E}(x, y, z, t) = A(x, y, z) \cos(\omega t + \phi) \hat{i}_x$$

$$\vec{\nabla} \times \vec{H} = j\omega\vec{D} + \vec{J} \quad \vec{E}(x, y, z, t) = \Re\{A(x, y, z) e^{j\phi} e^{j\omega t} \hat{i}_x\}$$

$$\vec{\nabla} \cdot \vec{D} = \rho$$

$$\vec{\nabla} \cdot \vec{B} = 0$$



Introduzione ai simulatori EM

- Sorgenti

$$\vec{J}(x, y, z) = \vec{J}_s(x, y) \delta(z - z_o)$$

$$\vec{J}(x, y, z) = I_o(x) \hat{i}_x \delta(y - y_o) \delta(z - z_o)$$

$$\vec{J}(x, y, z) = I_o \hat{i}_x \delta(x - x_o) \delta(y - y_o) \delta(z - z_o)$$



Introduzione ai simulatori EM

- Campi in mezzi (dielettrici) lineari

$$\vec{D} = \varepsilon_0 (1 + \chi_e) = (\varepsilon' - j\varepsilon'') \vec{E}$$

$$\vec{J} = \sigma \vec{E}$$

$$\vec{\nabla} \times \vec{H} = j\omega \vec{D} + \vec{J} = j\omega \left(\varepsilon' - j\varepsilon'' - j \frac{\sigma}{\omega} \right) = j\omega \varepsilon \vec{E}$$

$$\tan \delta = \frac{\omega \varepsilon'' + \sigma}{\omega \varepsilon'}$$



Introduzione ai simulatori EM

- Equazioni di Maxwell in mezzi lineari

$$\vec{\nabla} \times \vec{E} = -j\omega\mu\vec{H} - \vec{M}$$

$$\vec{B} = \mu\vec{H}$$

$$\vec{\nabla} \times \vec{H} = j\omega\varepsilon\vec{E} + \vec{J}$$

$$\vec{D} = \varepsilon\vec{E}$$

$$\vec{\nabla} \cdot \vec{D} = \rho$$

$$\mu, \varepsilon \in \mathbb{C}$$

$$\vec{\nabla} \cdot \vec{B} = 0$$

$$\mu(f), \varepsilon(f), \sigma(f)$$



Introduzione ai simulatori EM

- Equazioni (omogenee) di Helmholtz

$$\nabla^2 \vec{E} + \omega^2 \mu \varepsilon \vec{E} = 0$$

$$\nabla^2 \vec{H} + \omega^2 \mu \varepsilon \vec{H} = 0$$

$$k = \omega \sqrt{\mu \varepsilon}, \quad k \in \mathbb{C}$$



Introduzione ai simulatori EM

- Onda piana (mezzo lineare senza perdite)

$$E_x(z) = E^+ e^{-jkz} + E^- e^{jkz}; \quad k \in \mathbb{R}$$

$$E_x(z, t) = E^+ \cos(\omega t - kz) + E^- \cos(\omega t + kz)$$

$$H_y(z) = \frac{1}{\zeta} \left\{ E^+ e^{-jkz} - E^- e^{jkz} \right\}$$

$$\zeta = \sqrt{\frac{\mu}{\varepsilon}} \in \mathbb{R}; \quad \zeta_0 = \sqrt{\frac{\mu_0}{\varepsilon_0}} = 377\Omega$$



Introduzione ai simulatori EM

- Onda piana (mezzo lineare con perdite)

$$E_x(z) = E^+ e^{-j\gamma z} + E^- e^{j\gamma z}; \quad \gamma \in \mathbb{C}$$

$$\gamma = \alpha + j\beta$$

$$E_x(z, t) = E^+ e^{-\alpha z} \cos(\omega t - \beta z) + E^- e^{+\alpha z} \cos(\omega t + \beta z)$$

$$H_y(z) = \frac{1}{\zeta} \left\{ E^+ e^{-j\gamma z} - E^- e^{j\gamma z} \right\}; \quad \zeta \in \mathbb{C}$$



Introduzione ai simulatori EM

- Onda piana in un buon conduttore (non perfetto)

$$\gamma = \alpha + j\beta \approx (1 + j) \sqrt{\frac{\omega\mu\sigma}{2}}$$

$$\delta = \frac{1}{\alpha} = \sqrt{\frac{2}{\omega\mu\sigma}} \quad (\text{skin depth})$$



Introduzione ai simulatori EM

- Modi TEM (mezzi omogenei)

$$\vec{E}(x, y, z) = \left\{ \vec{e}(x, y) + \hat{i}_z e_z(x, y) \right\} e^{-j\beta z}$$

$$\vec{H}(x, y, z) = \left\{ \vec{h}(x, y) + \hat{i}_z h_z(x, y) \right\} e^{-j\beta z}$$

$$\begin{array}{l} \vec{e}_z(x, y) = 0 \\ \vec{h}_z(x, y) = 0 \end{array} \quad \Rightarrow \quad \begin{array}{l} \nabla_t^2 \vec{e}(x, y) = 0 \\ \nabla_t^2 \vec{h}(x, y) = 0 \end{array} \quad \Rightarrow \quad \begin{array}{l} V_{12} = \int_1^2 \vec{E} \cdot d\vec{l} \\ I = \oint_C \vec{H} \cdot d\vec{l} \end{array}$$



Introduzione ai simulatori EM

- Campi e Potenziali Ausiliari (1/2)

$$\vec{\nabla} \times \vec{E} = -\frac{\partial \vec{B}}{\partial t} - \vec{M}$$

$$\vec{\nabla} \times \vec{H} = \frac{\partial \vec{D}}{\partial t} + \vec{J}$$

$$\vec{\nabla} \cdot \vec{D} = \rho$$

$$\vec{\nabla} \cdot \vec{B} = 0$$

B è solenoidale sempre:

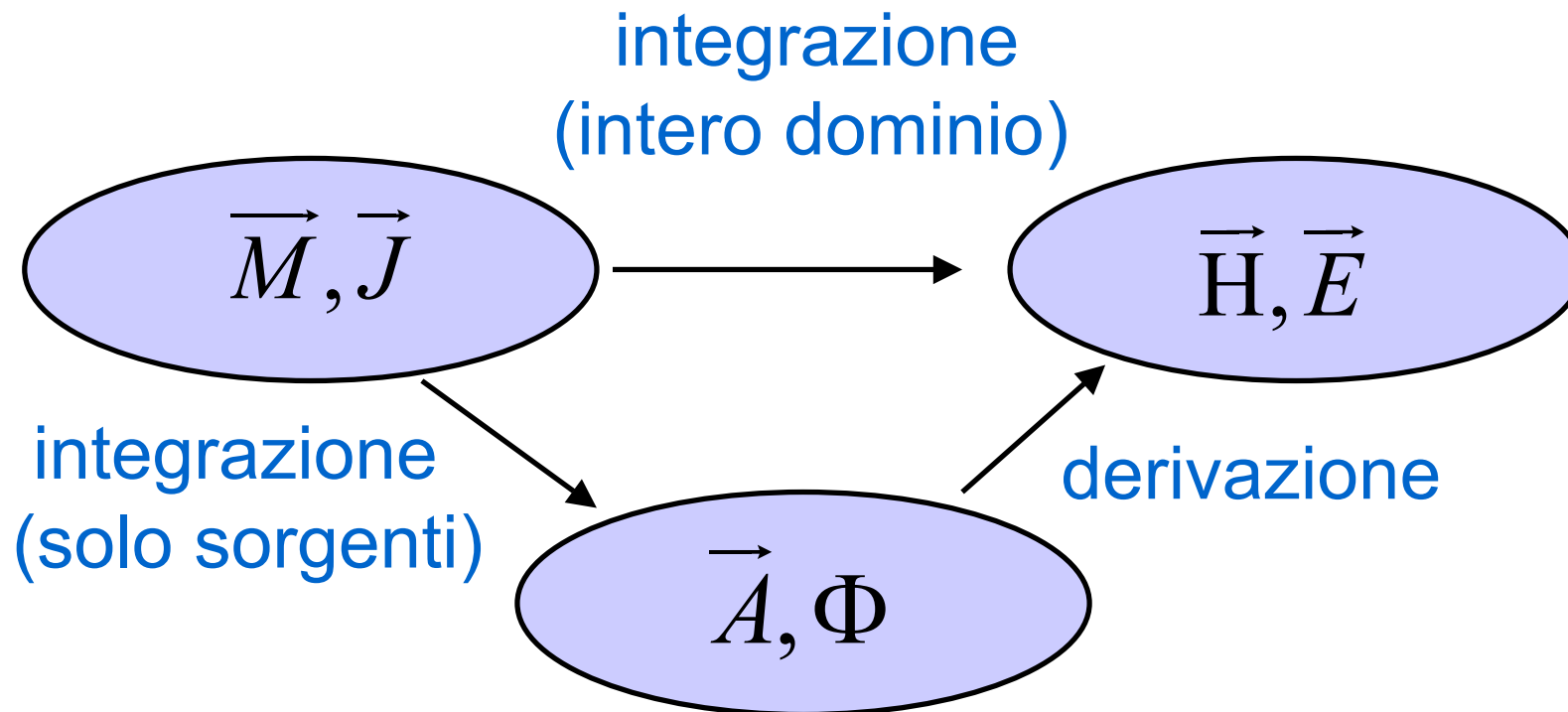
$$\vec{B} = \vec{\nabla} \times \vec{A}$$

$$\vec{E} = -\vec{\nabla}\Phi - \frac{\partial \vec{A}}{\partial t}$$



Introduzione ai simulatori EM

- Campi e Potenziali Ausiliari (2/2)





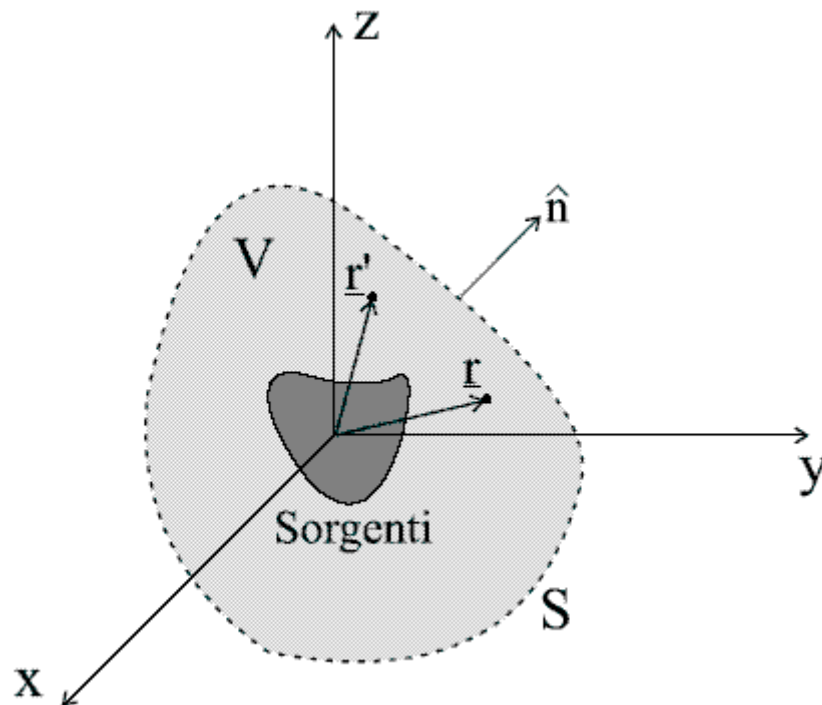
Introduzione ai simulatori EM

- Funzioni di Green e potenziali ausiliari
 - permettono di determinare i potenziali ausiliari (elettrico, magnetico)
 - dipendono della geometria e delle condizioni al contorno (problemi aperti)
 - sono generalmente pre-calcolate nei simulatori (vengono ricalcolate solo se si modifica la geometria)



Introduzione ai simulatori EM

- Funzioni di Green



$$\vec{A}(r) \propto \int_V \underline{\underline{G}}(r, r') \cdot \vec{J}(r') dV$$

$$\Phi(r) \propto \int_V \underline{\underline{G}}(r, r') \cdot \rho(r') dV$$



Introduzione ai simulatori EM

- Soluzione Numeriche delle equazioni di Maxwell e Simulatori EM
 - Discretizzazione del dominio in celle elementari in cui i campi, le correnti e le cariche possono considerarsi uniformi
 - Conversione di un sistema di equazioni differenziali ad un sistema di equazioni algebriche
 - Soluzione del sistema di equazioni algebriche



Introduzione ai simulatori EM

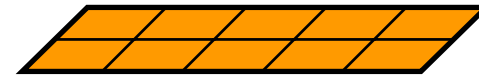
- Metodi Numerici per il calcolo dei campi EM
 - Discretizzazione dei campi E,H (metodi di dominio)
Finite Difference (FDE), Finite Element (FEM)
 - Discretizzazione delle sorgenti (metodi al contorno)
Metodo dei Momenti (MoM): superfici dei conduttori,
Partial Element Equivalent Circuit (PEEC): superfici e volumi
 - Differenziali /Integrali
 - Tempo /Frequenza
-



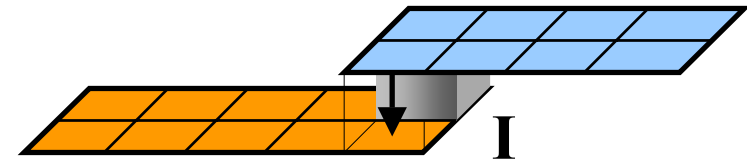
Introduzione ai simulatori EM

- Metodi Numerici e Dominio (meshing)

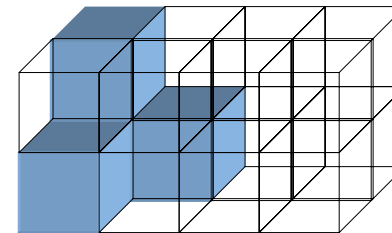
- 2 D (planare)



- 2 D e ½ (planare + vias)



- 3 D (tridimensionale)





Introduzione ai simulatori EM

- Condizioni al contorno
 - PEC (conduttore elettrico perfetto)
 - PEM (conduttore magnetico perfetto)
 - Radiativa (campo nullo all'infinito)
 - miste



Introduzione ai simulatori EM

- Quale simulatore utilizzare ?
 - problema in esame (linearità, banda larga, etc)
 - mezzo (dispersivi, etc)
 - geometria (complessità)
 - accuratezza (3D > 2D)
 - tempo e risorse di simulazione (2D > 3D)



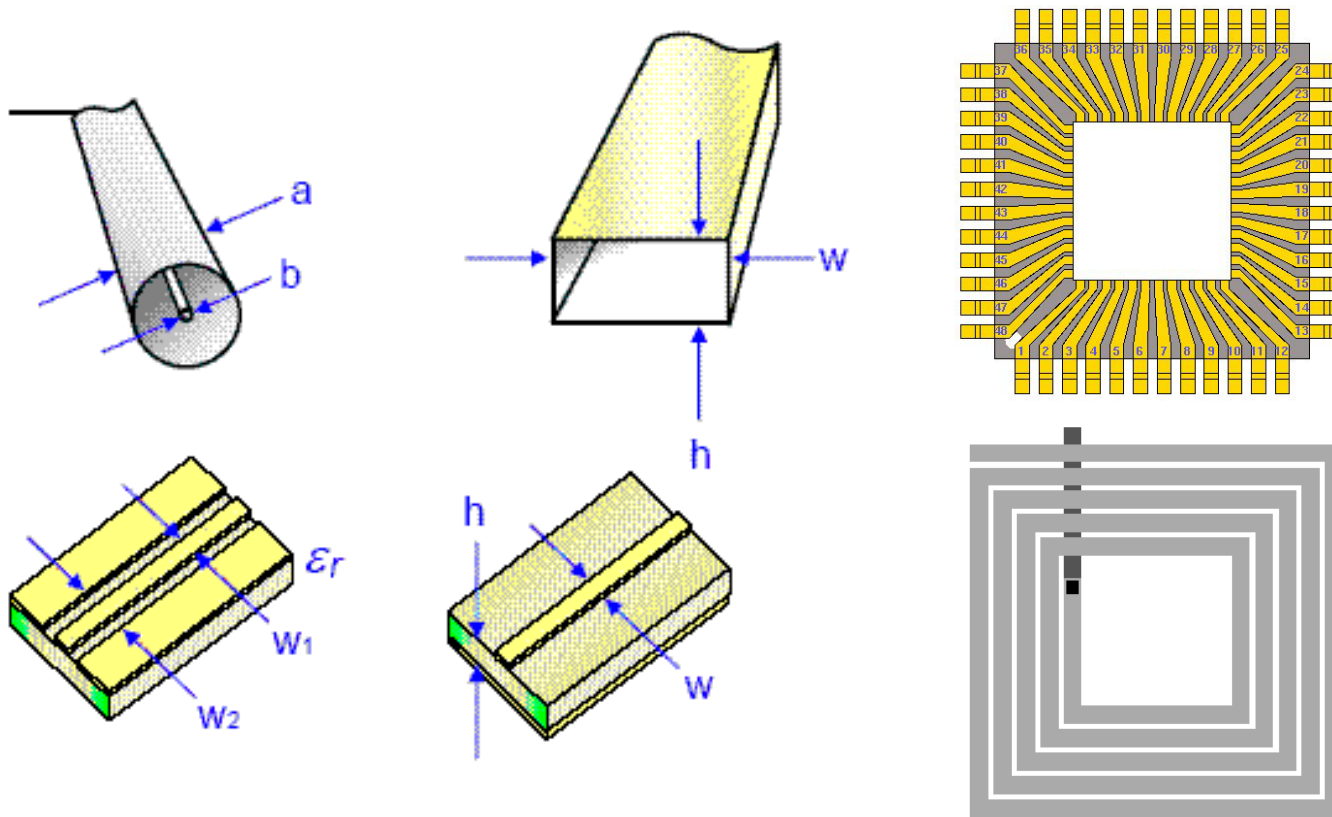
Introduzione ai simulatori EM

- Prima classificazione
 - bassa frequenza (motori elettrici, attuatori, etc.)
 - larga banda (schede per PC, etc.)
 - alta frequenza (antenne, radar, circuiti a microonde)



Introduzione ai simulatori EM

- Applicazioni a RF





Introduzione ai simulatori EM

- Simulatori EM per applicazioni a RF

(dispositivi lineari, stato stazionario, effetti di ordine superiore)

- induttori, package, microstrisce, antenne, etc.
- dielettrici lineari (omogenei / non-omogenei)
- quasi –TEM (banda stretta, basse frequenze)
- full-wave (banda larga, discontinuità)



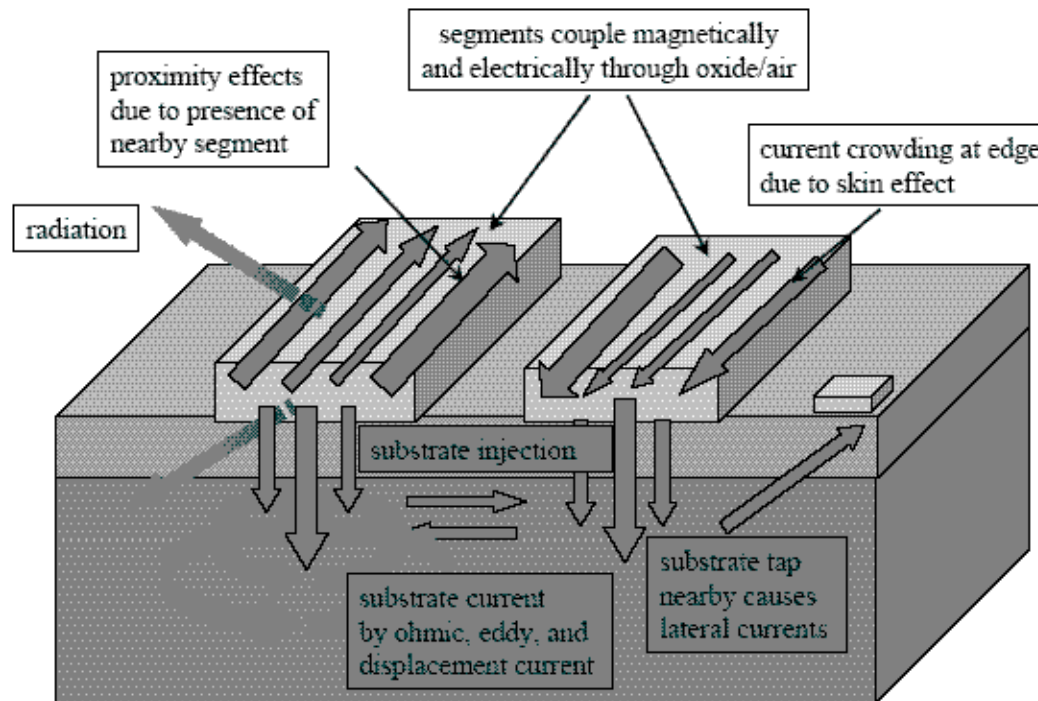
Introduzione ai simulatori EM

- Meccanismi di perdita
 - conducibilità finita delle metal (alluminio, polisilicio)
 - effetto pelle e proximity effect
 - perdite nel substrato (accoppiamenti capacitivi, correnti indotte, radiazione)



Introduzione ai simulatori EM

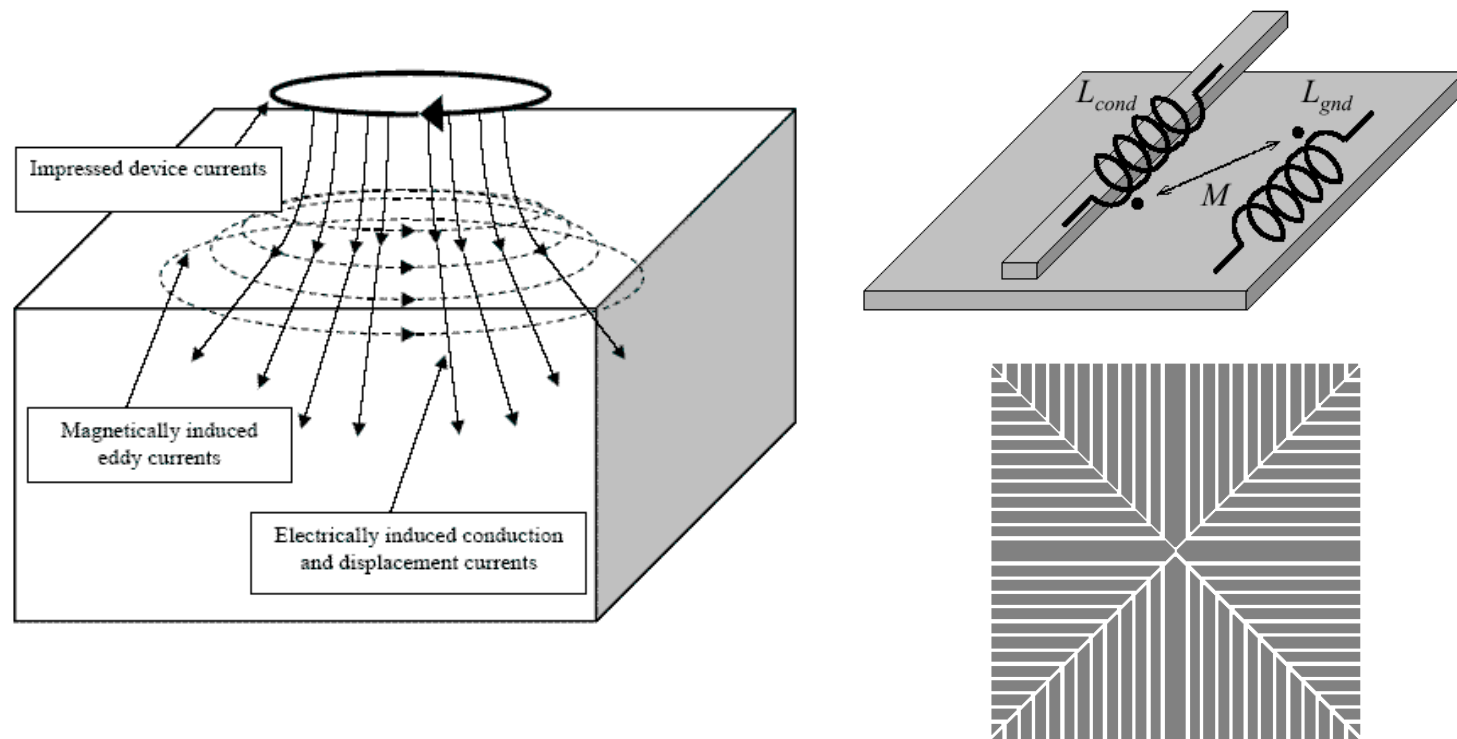
- Meccanismi di perdita





Introduzione ai simulatori EM

- Meccanismi di perdita nel substrato (eddy current)





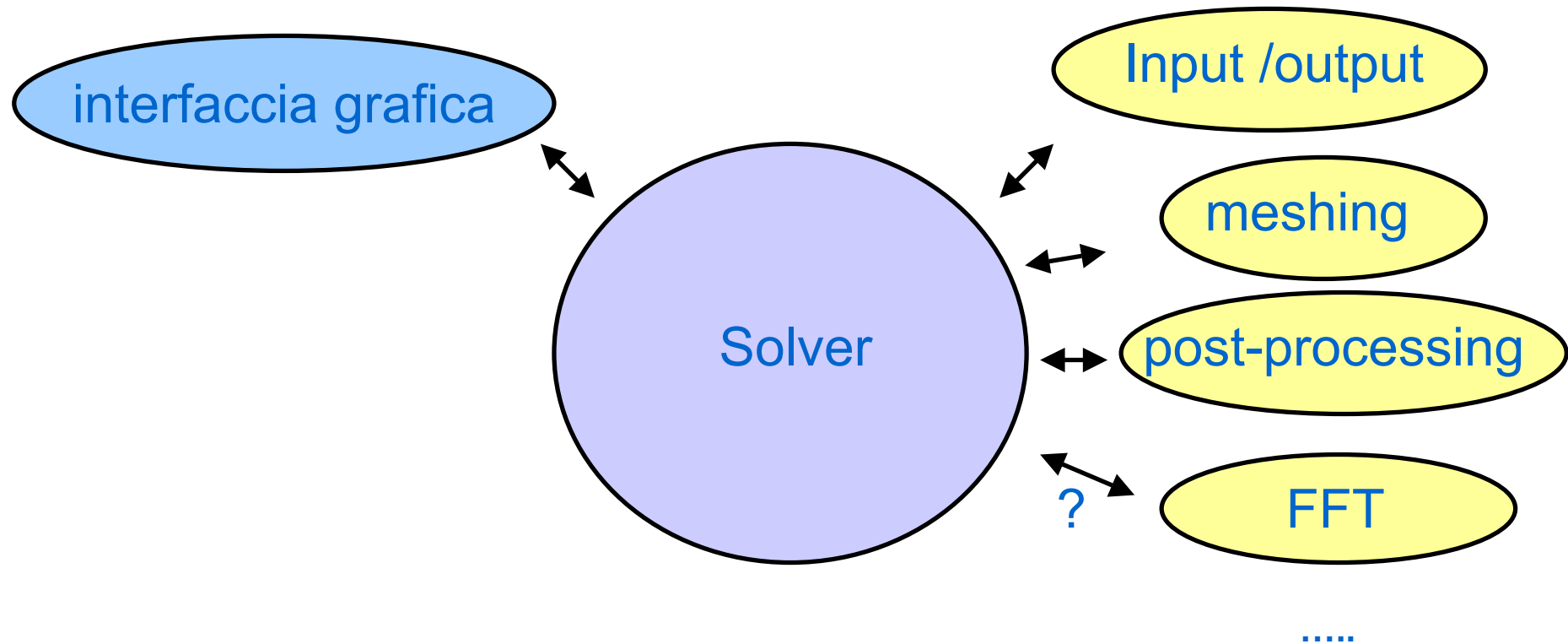
Agenda

- Importanza della simulazione EM
- Introduzione ai simulatori EM
- Alcuni simulatori per applicazioni RF
- ASITIC: Semplice sessione



Alcuni simulatori EM per applicazioni RF

- Struttura generale di un simulatore EM





Alcuni simulatori EM per applicazioni RF

- ASITIC (2D e $\frac{1}{2}$, PEEC)
- Microwave Office EM Sight (2D e $\frac{1}{2}$, MoM)
- Momentum (2D e $\frac{1}{2}$, MoM)
- High Frequency Structures Simulator (3D, FEM)
- Finite Difference Time Domain (3D, FDE)



Alcuni simulatori EM per applicazioni RF

- ASITIC (2D e $\frac{1}{2}$, PEEC)

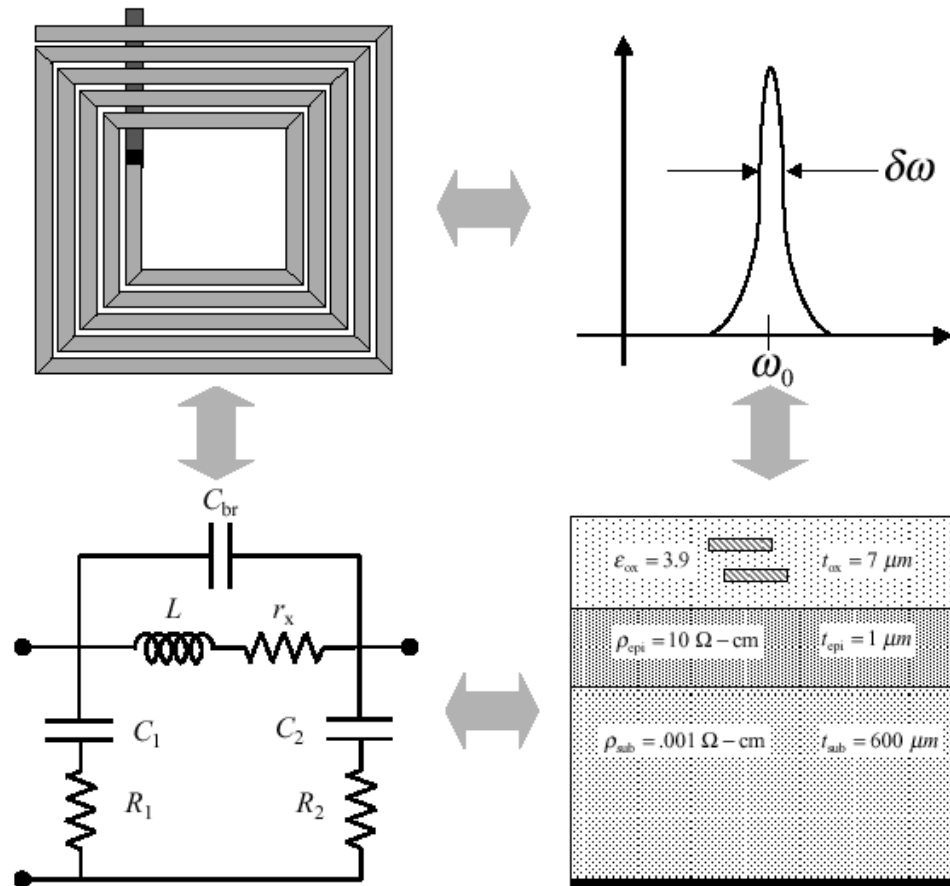
- specifico per induttori e trasformatori per IC su Si
 - dielettrici a strati omogenei, non dispersivi (banda stretta)
 - no irradiazione, eddy current (opzionale), skin effect
 - dominio della frequenza
 - forma integrale
 - qualsiasi geometria (planare, multi-layer)
-



Alcuni simulatori EM per applicazioni RF

- ASITIC:

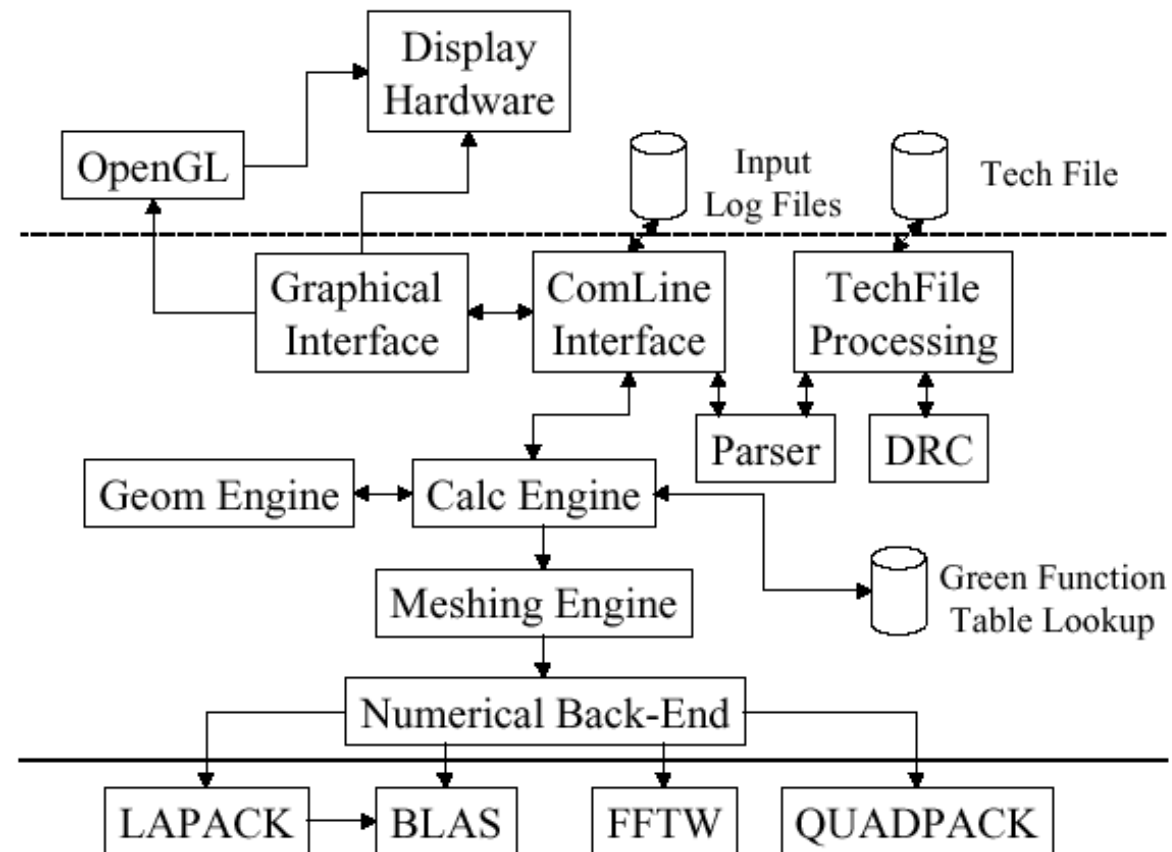
4 descrizioni





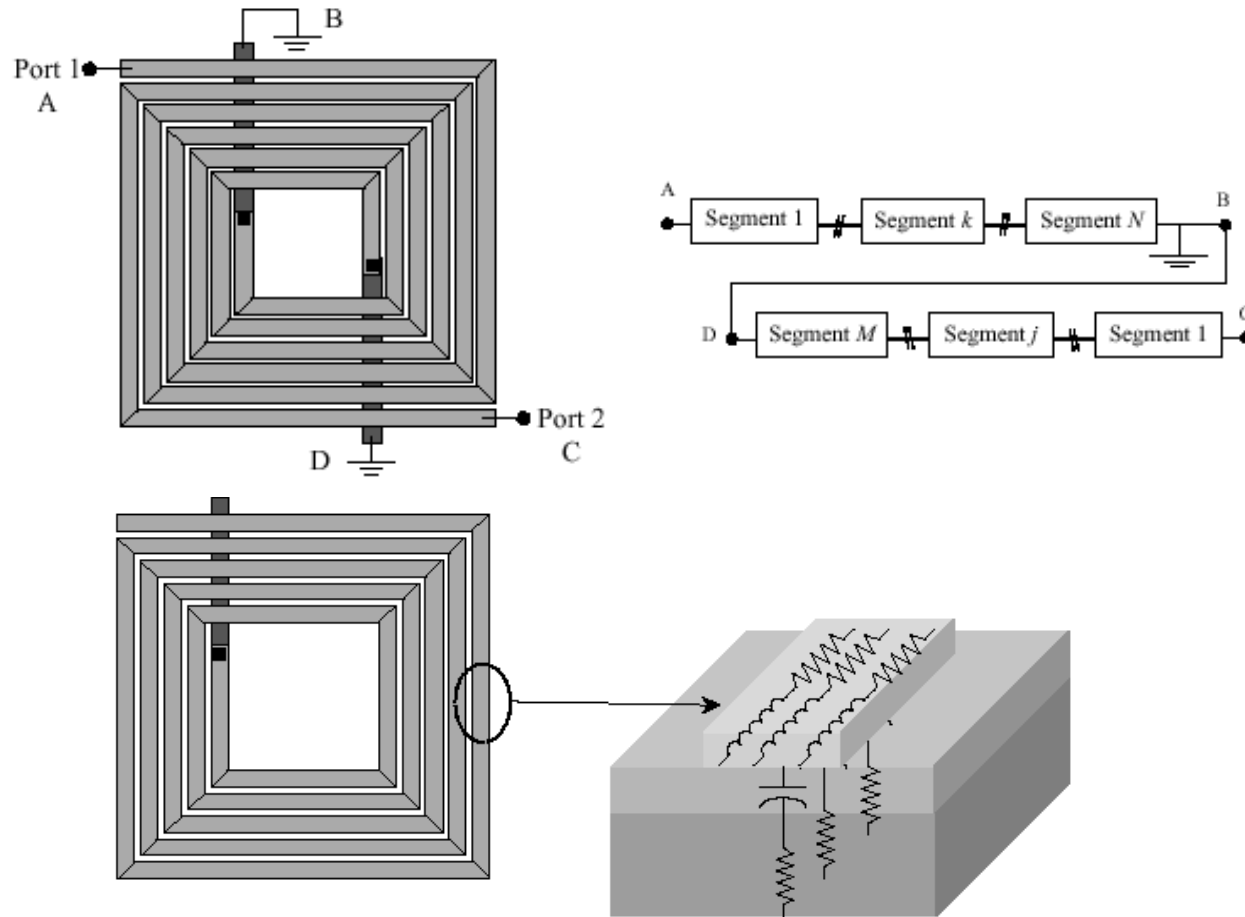
Alcuni simulatori EM per applicazioni RF

- ASITIC: organizzazione



Alcuni simulatori EM per applicazioni RF

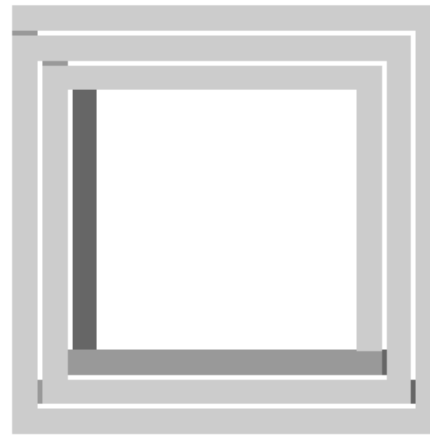
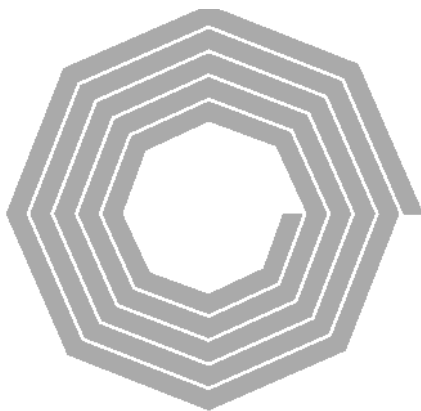
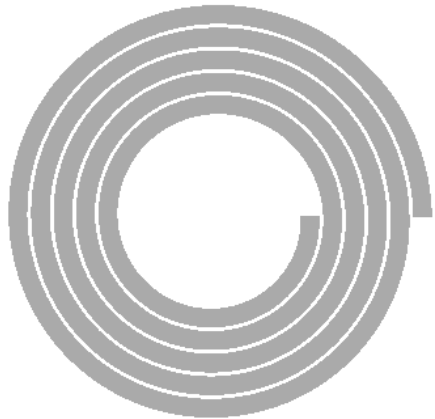
- ASITIC: segmentazione



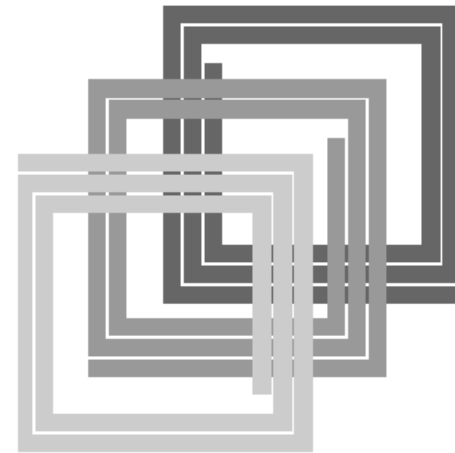


Alcuni simulatori EM per applicazioni RF

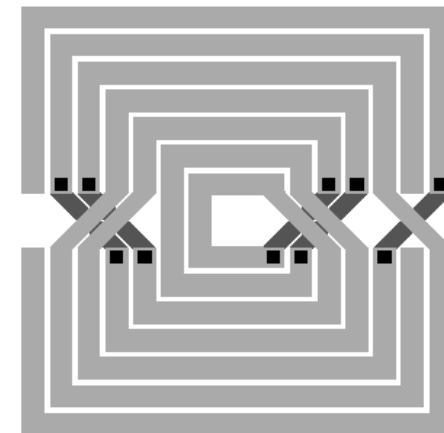
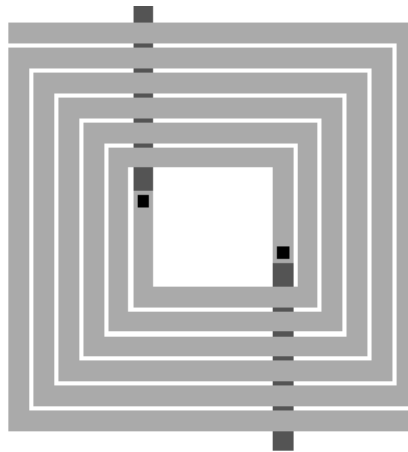
- ASITIC: editing



(a)



(b)





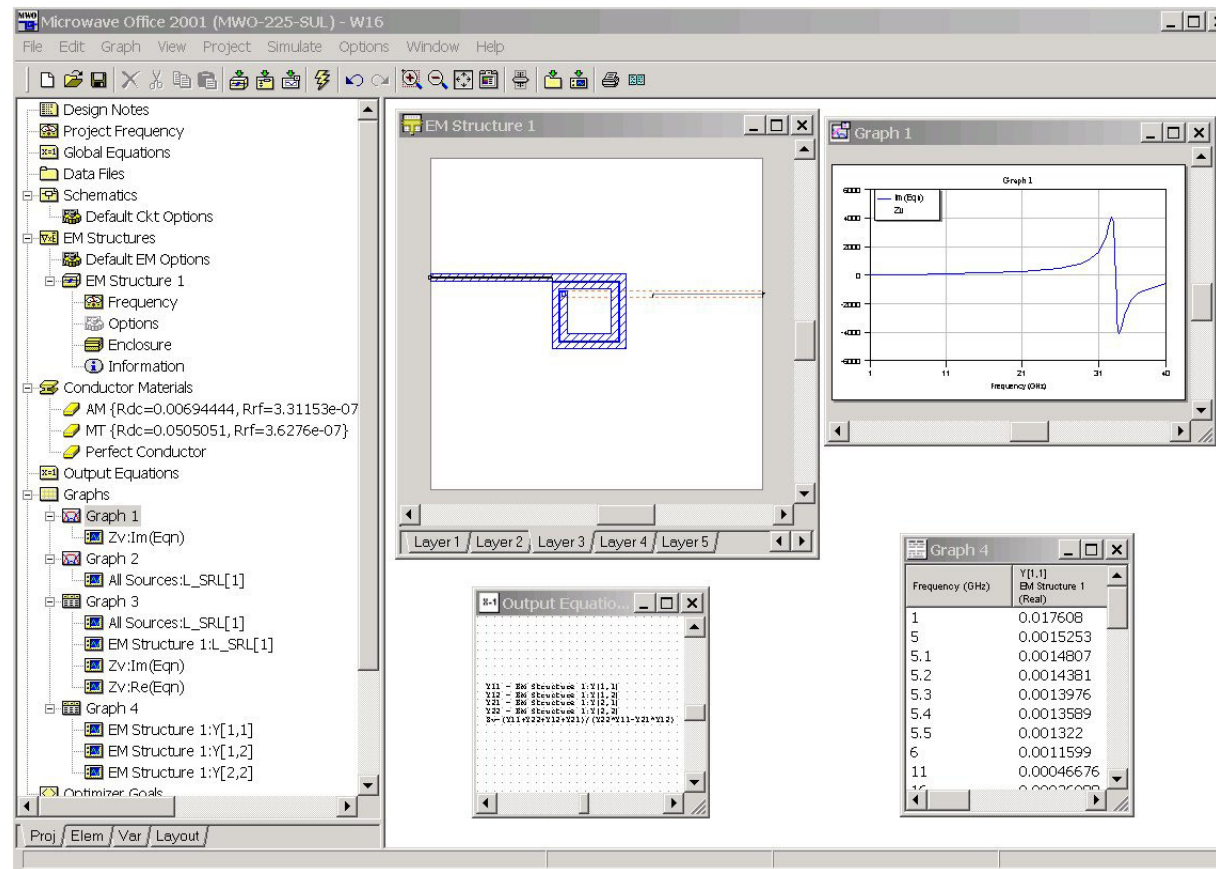
Alcuni simulatori EM per applicazioni RF

- Microwave Office EM Sight (2D e $\frac{1}{2}$, MoM)
 - full wave (planare, multi-layer)
 - dominio della frequenza (componenti passivi)
 - forma integrale
 - no geometrie circolari
 - dielettrici a strati omogenei



Alcuni simulatori EM per applicazioni RF

- Microwave Office EM Sight: Interfaccia grafica





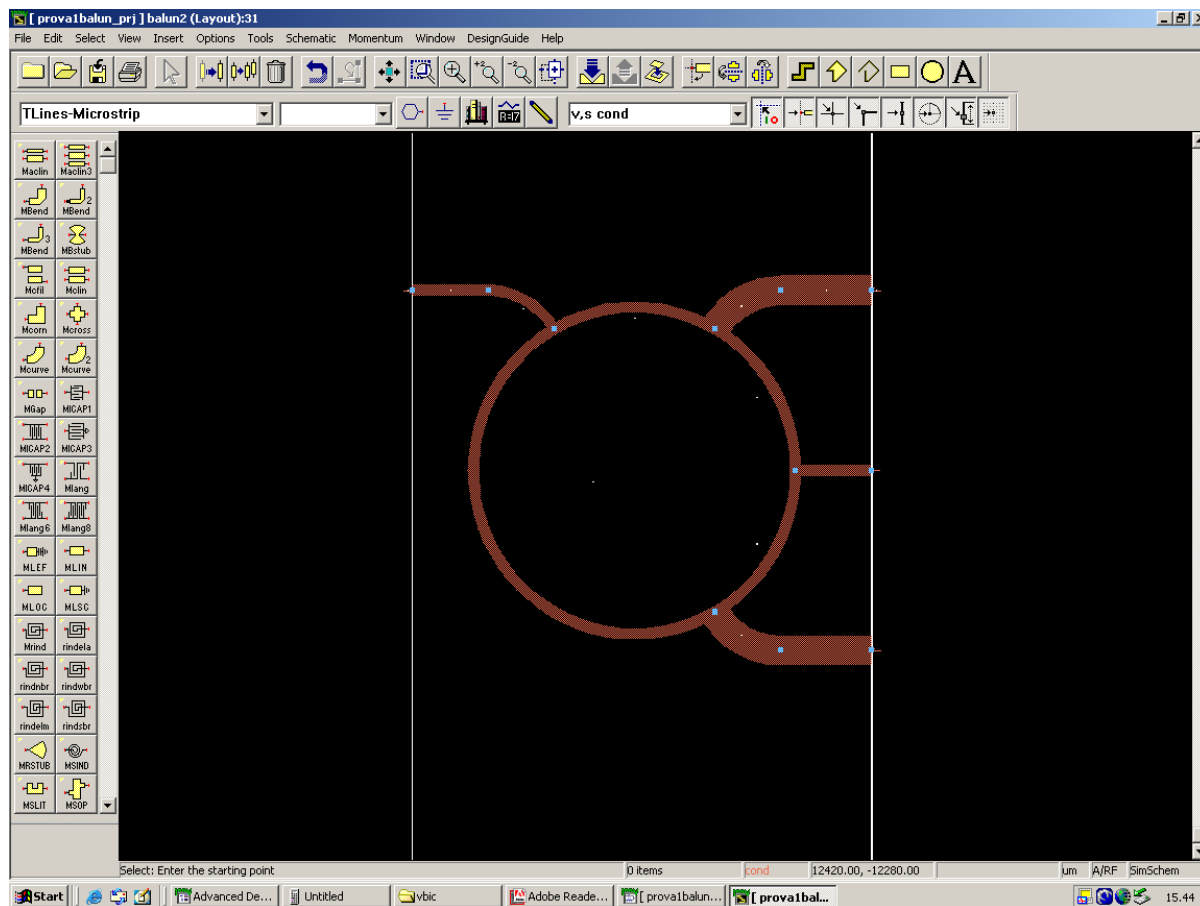
Alcuni simulatori EM per applicazioni RF

- Momentum (2D e $\frac{1}{2}$, MoM)
 - full wave (planare, multi-layer)
 - dominio della frequenza (componenti passivi)
 - forma integrale
 - sì geometrie circolari
 - dielettrici a strati omogenei



Alcuni simulatori EM per applicazioni RF

- Momentum: Interfaccia grafica





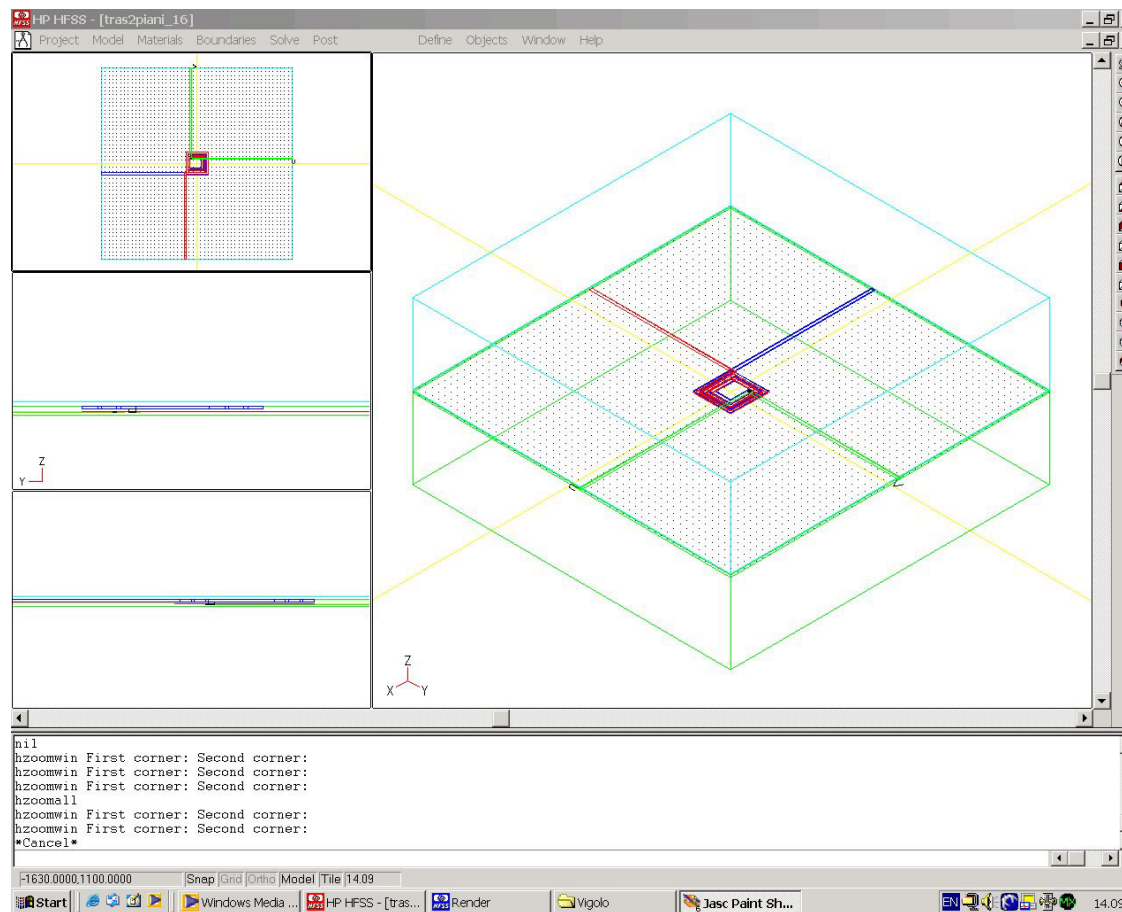
Alcuni simulatori EM per applicazioni RF

- High Frequency Structures Simulator (3D, FEM)
 - full wave
 - dominio della frequenza (linearità)
 - forma differenziale
 - qualsiasi geometria
 - dielettrici non omogenei



Alcuni simulatori EM per applicazioni RF

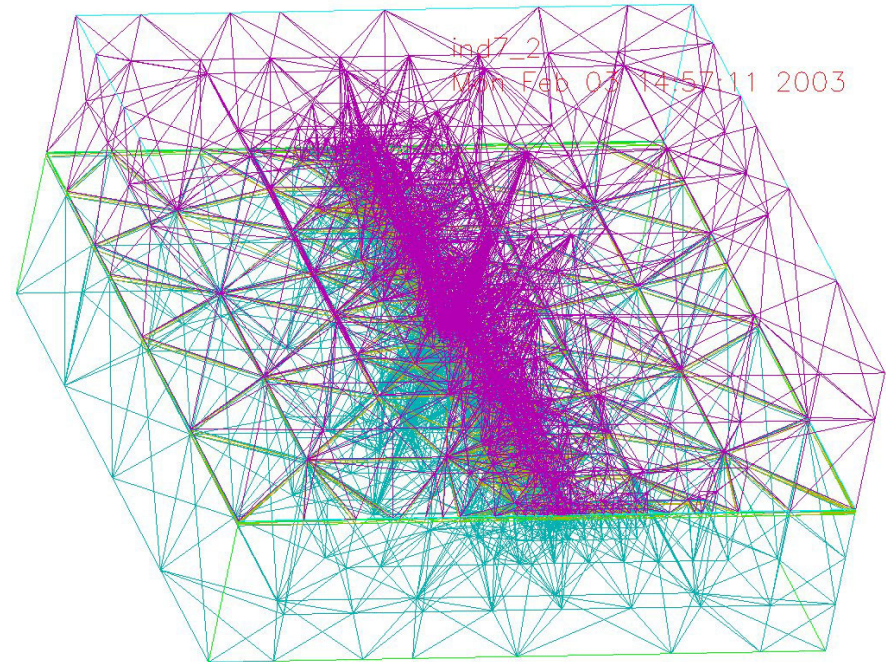
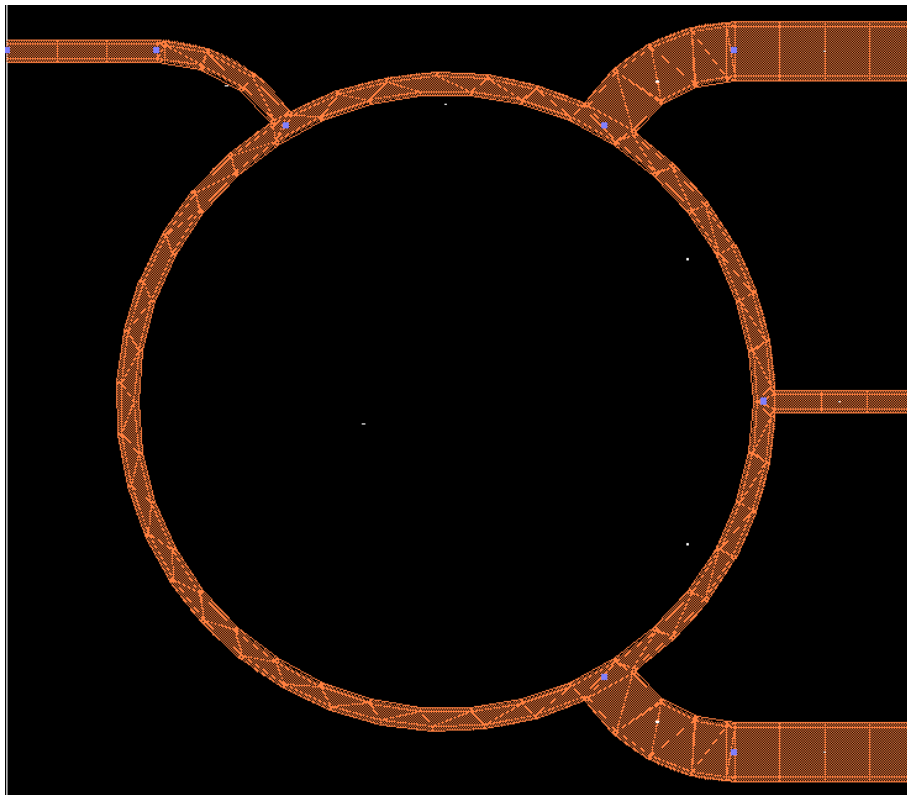
- High Frequency Structures Simulator: Interfaccia grafica





Alcuni simulatori EM per applicazioni RF

- Meshing 2D (Momentum) e 3D (HFSS)





Alcuni simulatori EM per applicazioni RF

- Finite Difference Time Domain (3D, FDE)
 - full wave
 - dominio del tempo (non-linearità)
 - forma differenziale (eq.alle differenze)
 - qualsiasi geometria
 - dielettrici non omogenei



Alcuni simulatori EM per applicazioni RF

- Finite Difference Time Domain:

Interfaccia grafica (!!)

```
LI 30
1 60 1 60 1 360 2
1 60 1 60 361 362 2
1 60 1 60 363 363 2
1 60 1 60 364 364 5
1 60 1 60 365 369 5
1 60 1 60 370 373 7
1 60 1 60 374 400 8
19 20 17 42 367 367 6
21 42 41 42 367 367 6
41 42 19 40 367 367 6
23 40 19 20 367 367 6
23 24 21 38 367 367 6
25 38 37 38 367 367 6
37 38 23 36 367 367 6
27 36 23 24 367 367 6
27 28 25 34 367 367 6
29 34 33 34 367 367 6
33 34 27 32 367 367 6
31 32 27 28 367 367 6
31 32 27 28 368 369 6
19 20 15 18 370 371 6
19 42 19 20 370 371 6
41 42 21 42 370 371 6
19 40 41 42 370 371 6
19 20 23 40 370 371 6
21 38 23 24 370 371 6
37 38 25 38 370 371 6
23 36 37 38 370 371 6
23 24 27 36 370 371 6
25 32 27 28 370 371 6
```



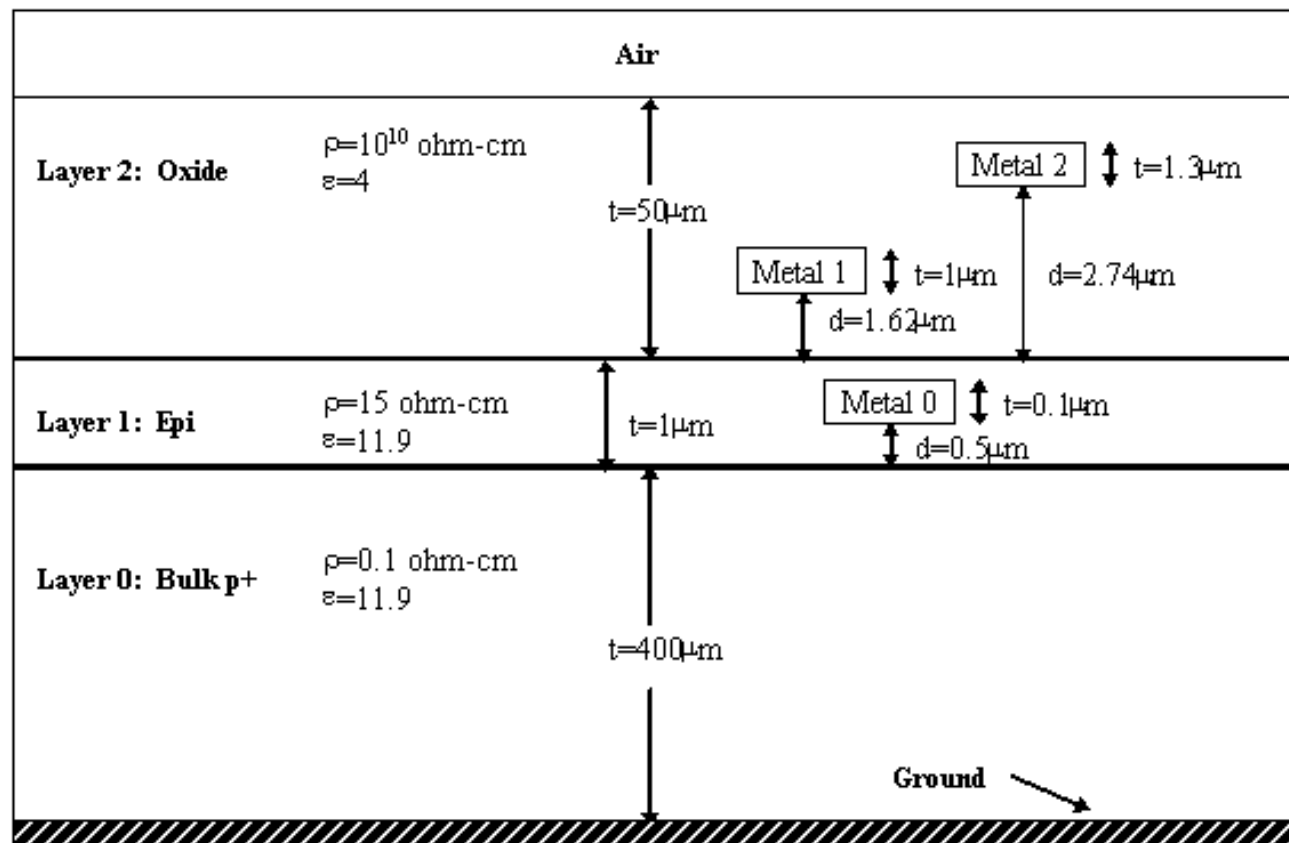
Agenda

- Importanza della simulazione EM
- Introduzione ai simulatori EM
- Alcuni simulatori per applicazioni RF
- **ASITIC: Semplice sessione**



ASITIC: Semplice Sessione

- techfile (1/2)





ASITIC: Semplice Sessione

- techfile (2/2)

```
<chip>
chipx = 512      ; dimensions of the chip in x direction in microns
chipy = 512      ; dimensions of the chip in y direction
fftx = 256       ; x-fft size (must be a power of 2)
ffty = 256       ; y-fft size
TechFile = sample.tek ; the name of this file
TechPath = /home/niknejad/tekf ; the pathname of the data files
freq = .1

<layer> 0      ; Bulk Substrate

rho = .1        ; Resistivity: ohm-cm
t = 400         ; Thickness: microns
eps = 11.9      ; Permittivity: relative

<layer> 1      ; Epi Layer

rho = 15        ; ohm-cm
t = 1           ; microns
eps = 11.9      ; relative

<layer> 2      ; Oxide Layer

rho = 1e10      ; ohm-cm
t = 50          ; microns
eps = 4         ; relative

<via> 0        ; metal 1 to substrate

top = 1         ; via connects up to this metal layer
bottom = 0      ; via connects down to this metal layer
r = 5           ; resistance per via
width = .4      ; width of via
space = 1.3     ; minimum spacing between vias
overplot1 = .3  ; minimum dist to substrate metal
overplot2 = .3  ; minimum dist to metal 1
name = via0     ; name in ASITIC
color = purple  ; color in ASITIC
```



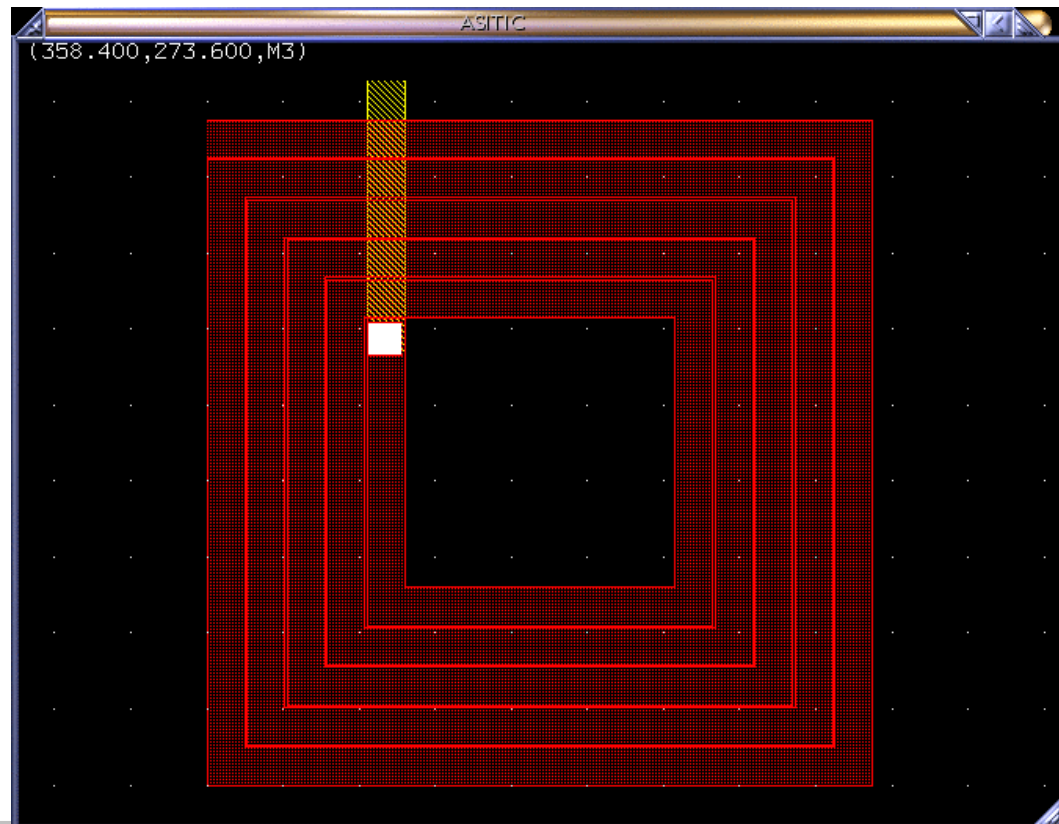
ASITIC: Semplice Sessione

```
tcsh> asitic -t sample1.tek
```

```
ASITIC> sq name=a:len=175:w=10:s=.5:n=5:xorg=200:yorg=200:metal=m3:exit=m2
```

- square spiral

(1/3)





ASITIC: Semplice Sessione

```
ASITIC> ind a
```

```
Inductance of A = 4.13121 (nH)
```

```
ASITIC> res a
```

```
Resistance of A = 4.246441 (Ohms)
```

```
ASITIC> pix a 2
```

```
lambda = 37500.00, delta = 1.95
```

```
maxL = 1875.00, maxT = 1.56, maxW = 1.56
```

```
Performing Analysis at 2.00 GHz
```

```
Generating capacitance matrix (105x105)...
```

```
Generating inductance matrix (126x126)..
```

```
Inverting matrix.....
```

```
Ind Timing: tot = 1045, setup = 08, fill = 762
```

```
invert = 266, reduce = 05, eddy = 00
```

```
Calc Times (ms): total = 1378, cap = 309, ind = 1063, node = 05
```

```
Pi Model at f=2.00 GHz: Q = 7.02, 7.16, 8.20
```

```
L = 4.06 nH R = 5.29
```

```
Cs1= 104 fF Rs1= 638
```

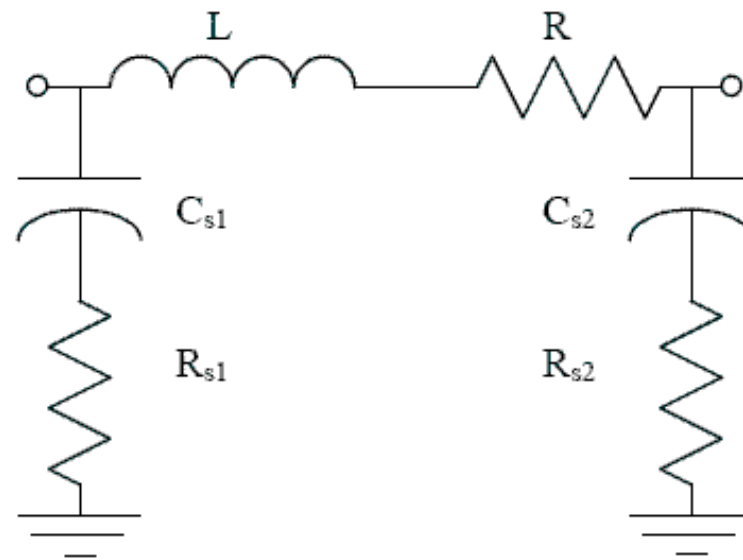
```
Cs2= 97 fF Rs2= 710 f_res = 7.74GHz
```

- square spiral (2/3)



ASITIC: Semplice Sessione

- circuito a pi-greco (pix)





ASITIC: Semplice Sessione

- square spiral (3/3)

```
ASITIC> sq name=halo:len=200:wid=200:w=20:n=1:xorg=180:yorg=180:s=10:metal=msub
ASITIC> mv halo 5 5
ASITIC> pix a 2 halo
```

```
lambda = 37500.00, delta = 1.95
```

```
maxL = 1875.00, maxT = 1.56, maxW = 1.56
```

```
Performing Analysis at 2.00 GHz
```

```
Generating capacitance matrix (141x141)...
```

```
Generating inductance matrix (126x126)..
```

```
Inverting matrix.....
```

```
Pi Model at f=2.00 GHz: Q = 7.85, 7.81, 8.20
```

```
L = 3.98 nH R = 5.83
```

```
Cs1= 117 fF Rs1= 13.2
```

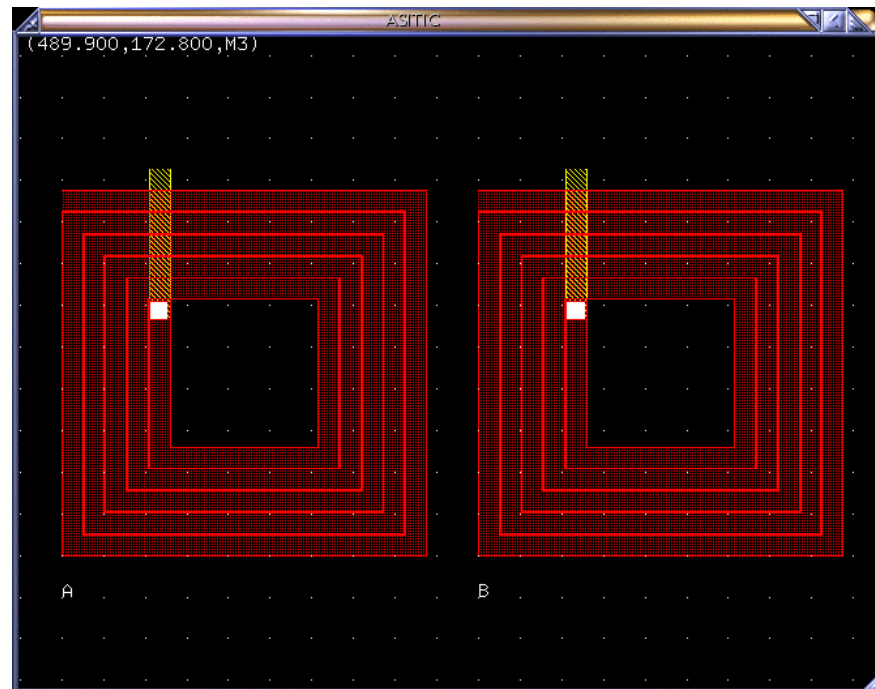
```
Cs2= 108 fF Rs2= 29.5 f_res = 7.39GHz
```




ASITIC: Semplice Sessione

- coupling (1/4)

```
ASITIC> del halo  
ASITIC> cp a b  
ASITIC> mv a -100 0  
ASITIC> mv b 100 0  
ASITIC> friend a b  
ASITIC> mv a -25 0
```





ASITIC: Semplice Sessione

- coupling (2/4)

```
ASITIC> k a b
```

```
Coupling coefficient of A and B: k = -0.02748 and M = -0.11355  
(nH).
```

```
ASITIC> k2 2 a b
```

```
lambda = 37500.00, delta = 1.95
```

```
maxL = 1875.00, maxT = 1.56, maxW = 1.56
```

```
Generating inductance matrix (252x252)..
```

```
Inverting matrix.....
```

```
Ind Timing: tot = 4673, setup = 20, fill = 2117
```

```
invert = 2526, reduce = 33, eddy = 00
```

```
L(A,A) = 4.03648 nH R(A,A) = 6.120
```

```
L(A,B) = -0.11181 nH R(A,B) = -0.074
```

```
L(B,B) = 4.03624 nH R(B,B) = 6.127
```



ASITIC: Semplice Sessione

- coupling (3/4)

$$Z = j\omega(L_1 + L_2 + 2M)$$

```
ASITIC> showdir
```

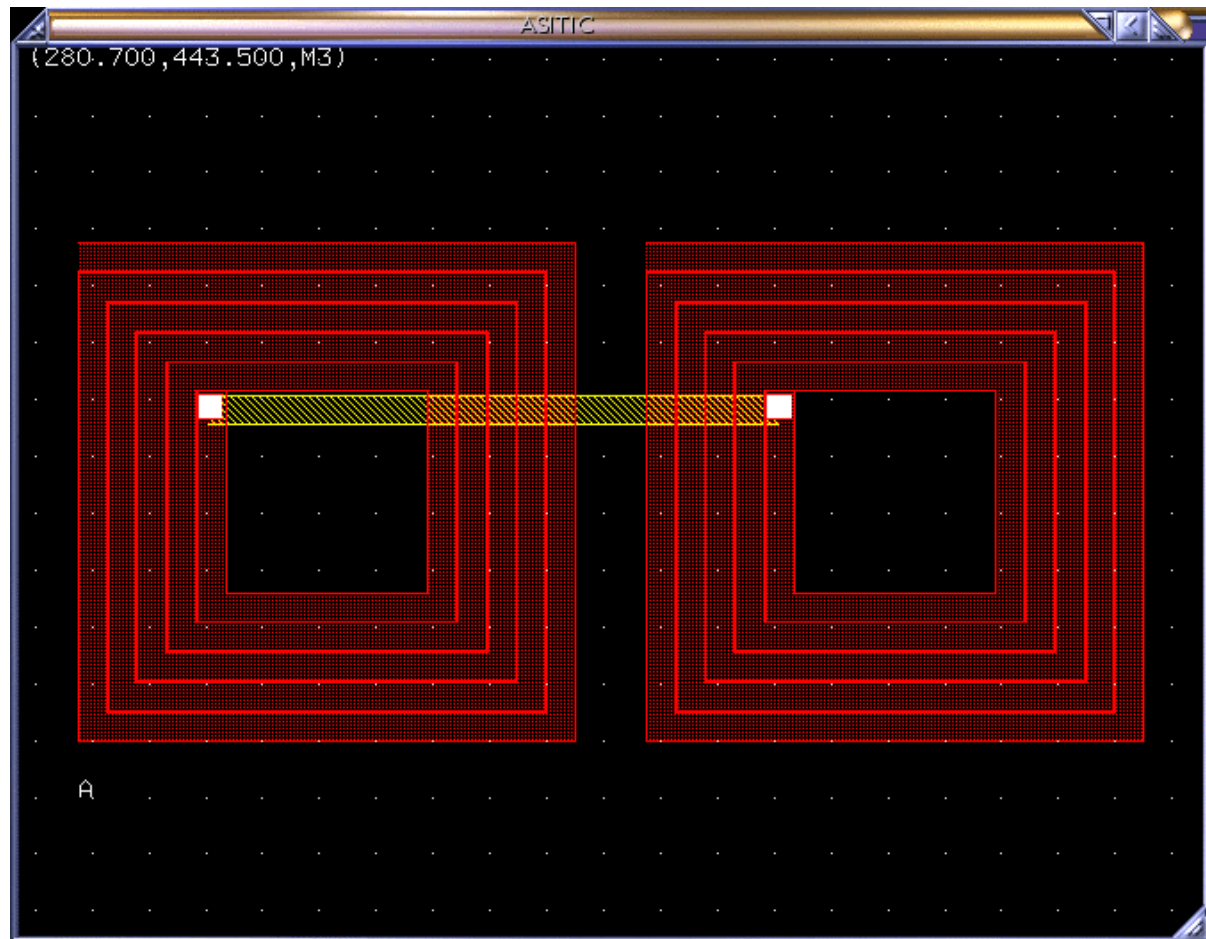
```
ASITIC> flip b
```

```
ASITIC> phase b -1
```

```
ASITIC> join a c b
```

```
ASITIC> ind a
```

```
Inductance of A = 8.80189 (nH)
```





ASITIC: Semplice Sessione

- coupling (4/4)

```
ASITIC> pix a 2
```

```
lambda = 37500.00, delta = 1.95
```

```
maxL = 1875.00, maxT = 1.56, maxW = 1.56
```

```
Performing Analysis at 2.00 GHz
```

```
Generating capacitance matrix (205x205)...
```

```
Generating inductance matrix (246x246)..
```

```
Inverting matrix.....
```

```
Ind Timing: tot = 3964, setup = 02, fill = 1994
```

```
invert = 1963, reduce = 04, eddy = 00
```

```
Calc Times (ms): total = 6084, cap = 2099, ind = 3983, node = 02
```

```
Pi Model at f=2.00 GHz: Q = 4.90, 4.77, 7.36
```

```
L = 8.64 nH R = 7.67
```

```
Cs1= 187 fF Rs1= 648
```

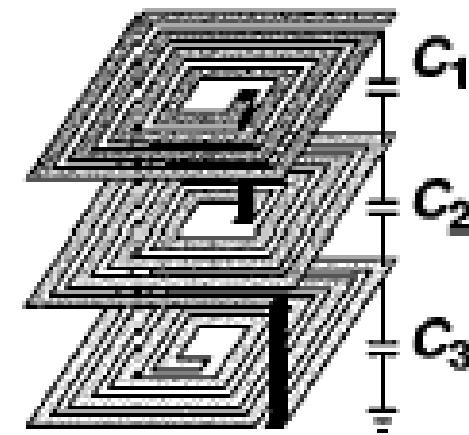
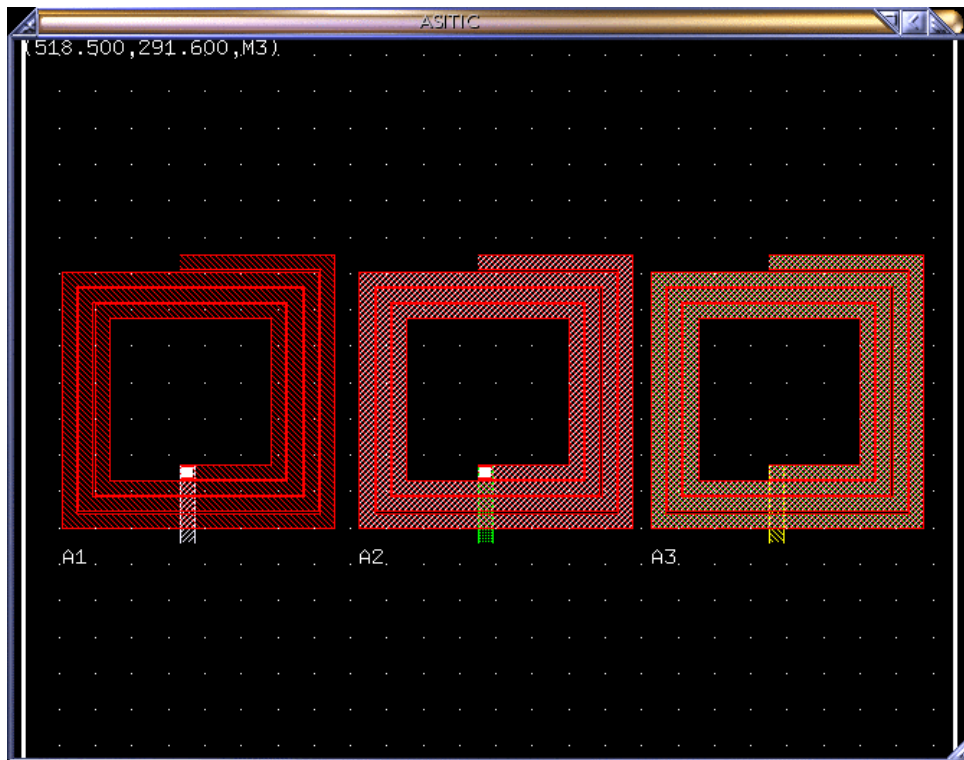
```
Cs2= 193 fF Rs2= 624 f_res = 3.96GHz
```



ASITIC: Semplice Sessione

- Multi-Layer Spiral (1/3)

```
ASITIC> sqsh name=a3:len=150:w=8:s=1:n=3.75:metal=m3:exit=m1:xorg=200:yorg=200:cbegin:cend:exit90
```





ASITIC: Semplice Sessione

- Multi-Layer Spiral (2/3)

```
ASITIC> pix a3 3
```

```
lambda = 25000.00, delta = 1.84
```

```
maxL = 1250.00, maxT = 1.47, maxW = 1.47
```

```
Performing Analysis at 3.00 GHz
```

```
Generating capacitance matrix (184x184)...
```

```
Generating inductance matrix (230x230)..
```

```
Inverting matrix.....
```

```
Ind Timing: tot = 3006, setup = 32, fill = 2444
```

```
invert = 495, reduce = 32, eddy = 00
```

```
Calc Times (ms): total = 5508, cap = 2502, ind = 3000, node = 05
```

```
Pi Model at f=3.00 GHz: Q = 7.33, 7.34, 8.59
```

```
L = 2.21 nH R = 4.04
```

```
Cs1= 89.2 fF Rs1= 665
```

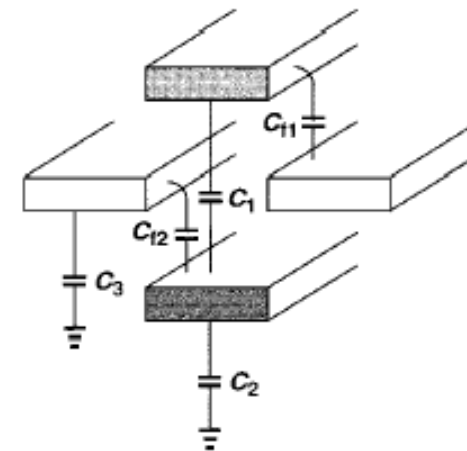
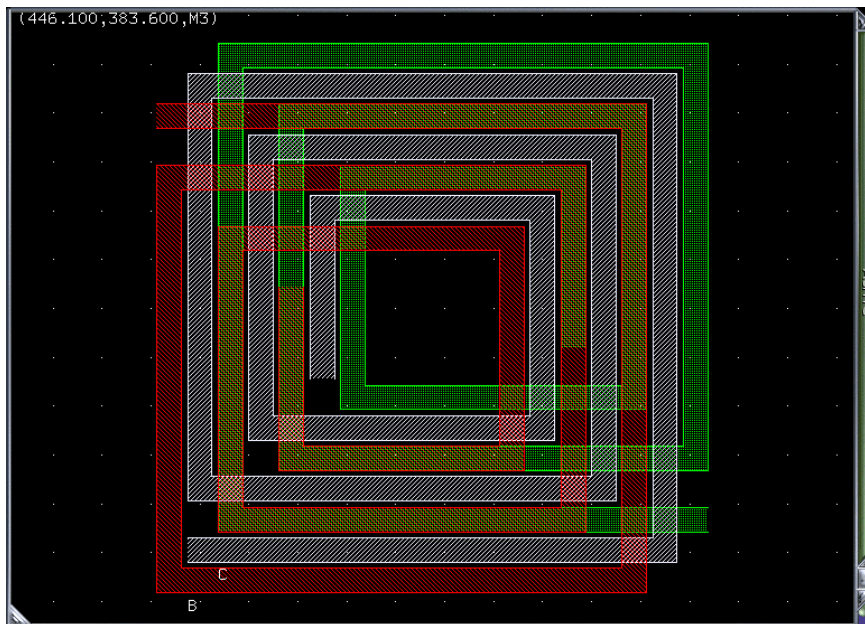
```
Cs2= 89.7 fF Rs2= 683 f res = 11.34GHz
```



ASITIC: Semplice Sessione

- Multi-Layer Spiral (3/3)

```
ASITIC> del a1 a2 a3  
ASITIC> sq name=s1:len=200:w=10:s=1:n=4:metal=m3:exit=m2:xorg=200:yorg=200:exit90  
ASITIC> sqmm name=s2:len=200:w=10:s=1:n=4:metal=m3:exit=m2:xorg=200:yorg=200:exit90
```

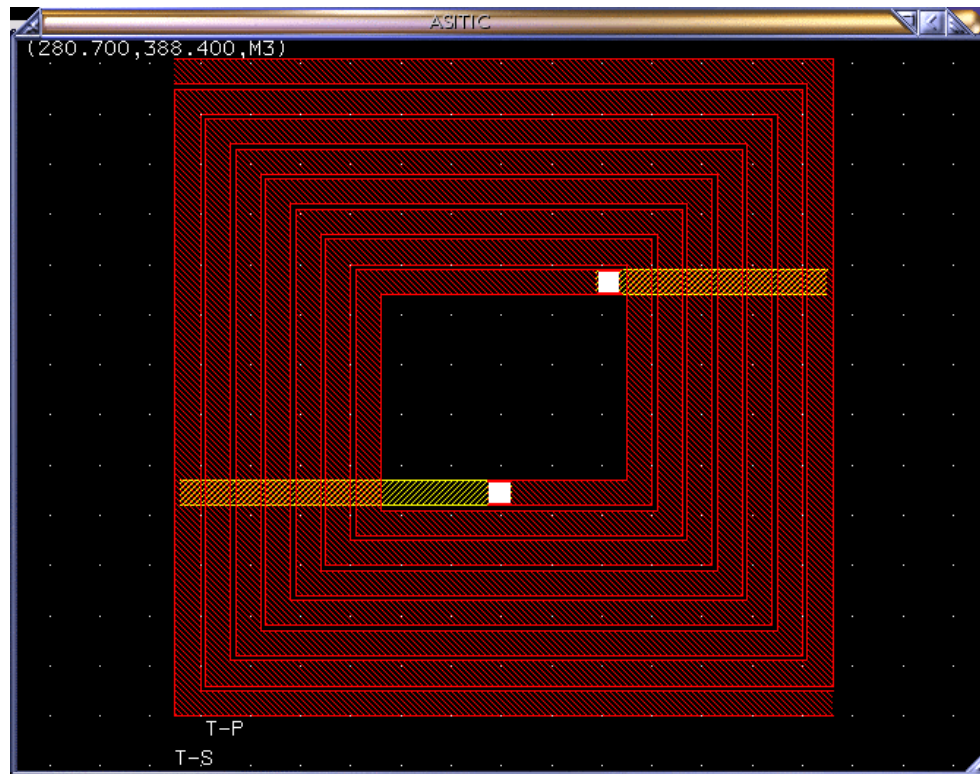




ASITIC: Semplice Sessione

- Square Planar Transformer (1/2)

```
ASITIC> trans name=t:len=250:w=10:s=2:n=3.75  
ASITIC> mv t-p 120 120
```





ASITIC: Semplice Sessione

- Square Planar Transformer (2/2)

```
ASITIC> k2 1.2 t-s t-p
```

```
lambda = 62500.00, delta = 2.52  
maxL = 3125.00, maxT = 2.01, maxW = 2.01  
Generating inductance matrix (160x160)..  
Inverting matrix.....  
L(T-S,T-S) = 3.34111 nH      R(T-S,T-S) = 5.135  
L(T-S,T-P) = 2.66867 nH      R(T-S,T-P) = 0.300  
L(T-P,T-P) = 3.34187 nH      R(T-P,T-P) = 5.404
```

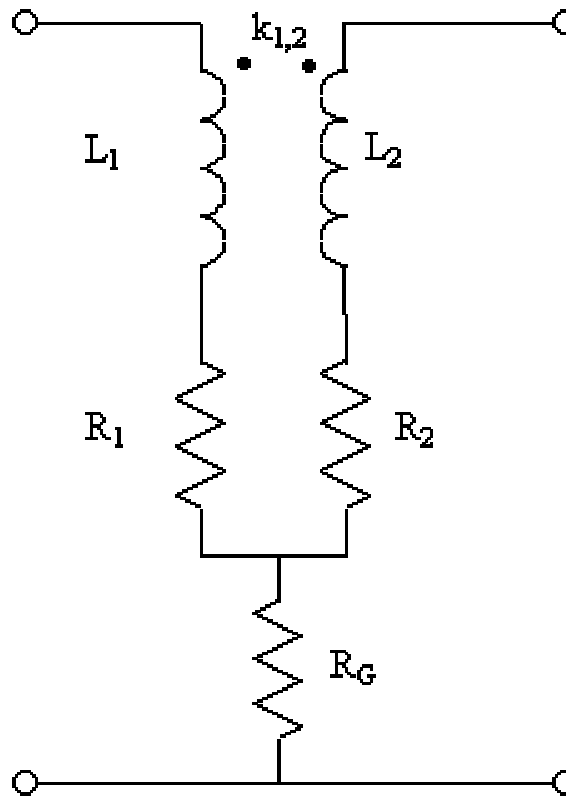
```
ASITIC> calctrans t-s t-p 2
```

```
lambda = 37500.00, delta = 1.95  
maxL = 1875.00, maxT = 1.56, maxW = 1.56  
Performing Analysis at 2.00 GHz  
Generating capacitance matrix (160x160)...  
Generating inductance matrix (192x192)..  
Inverting matrix.....  
Narrowband Model at f=2.00 GHz:  
L1= 3.4 R1= 5.16 L2= 3.4 R2= 5.44 M= 2.73 (k= 0.805) Re(Z12) = 0.818
```



ASITIC: Semplice Sessione

- circuito equivalente trasformatore





Riepilogo

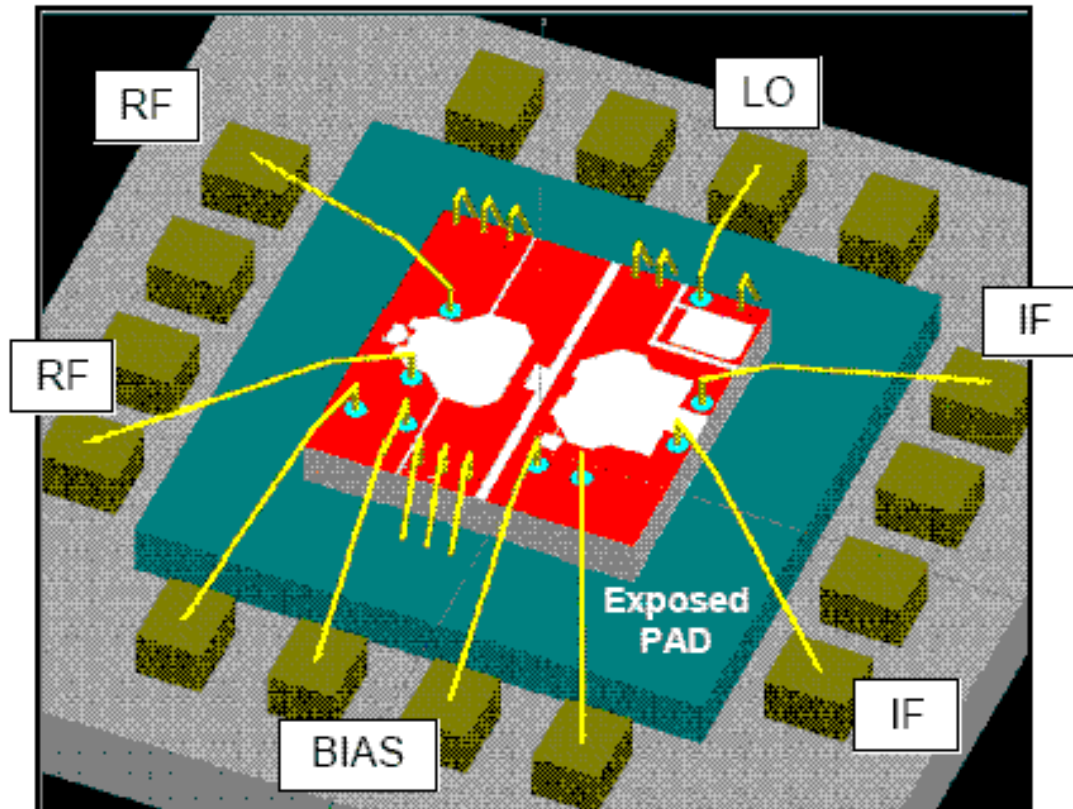
- Importanza della simulazione EM
- Introduzione ai simulatori EM
- Alcuni simulatori per applicazioni RF
- ASITIC: Semplice sessione



Conclusioni

- Alle alte frequenze la simulazione EM è necessaria (i modelli analitici sono insufficienti)
 - Simulatori 2D più rapidi e meno complessi dei 3D e la scelta dipende dal fenomeno e dalla geometria:
 - ❑ Strutture planari (Induttori, microstrip, etc): 2D
 - ❑ Strutture multi-layer (trasformatori, etc): 2D/3D
 - ❑ Packaging: 3D
-

Esempio: 3D Packaging Modeling

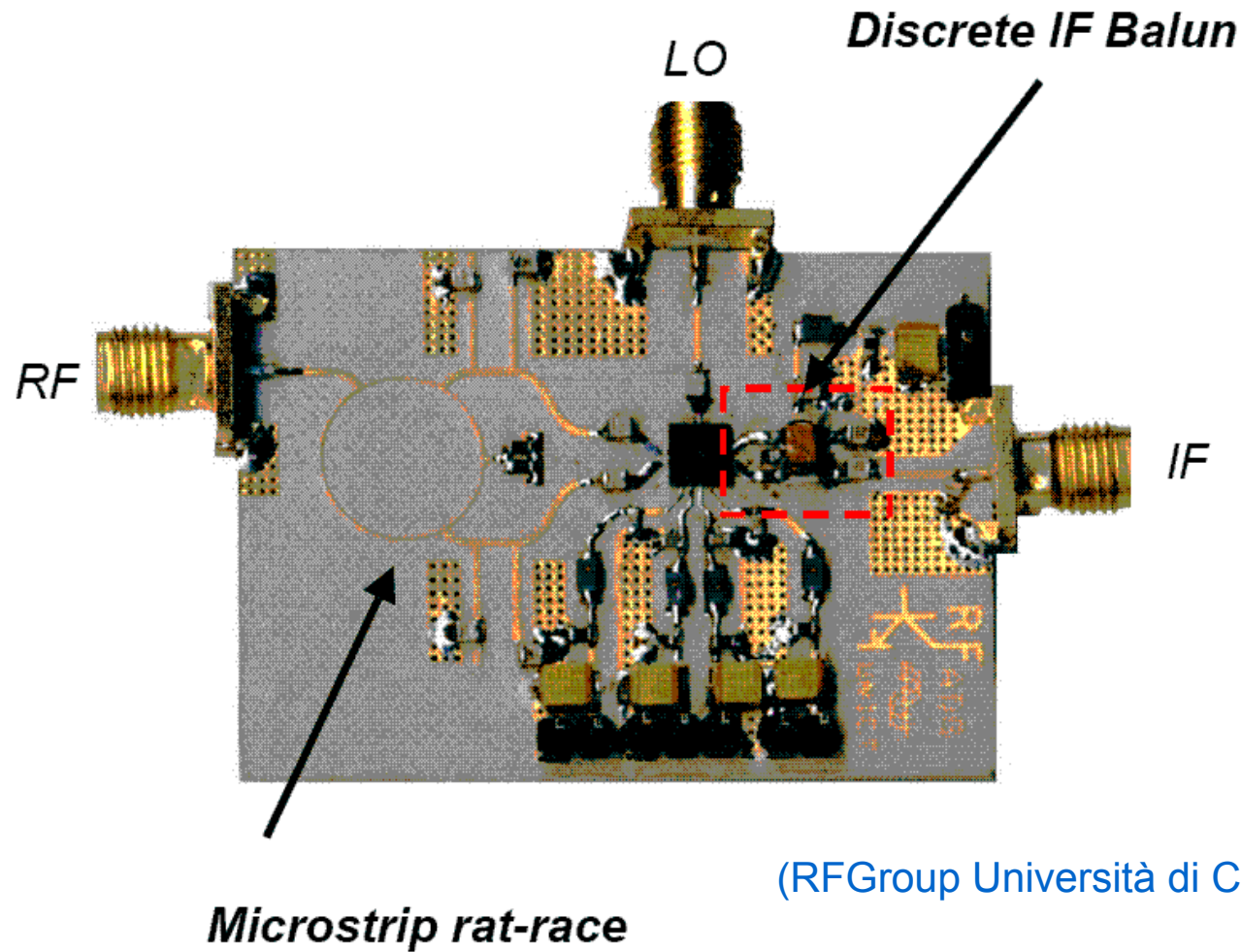


- Bonding wire
- EM coupling

(RFGroup Università di Catania)



Esempio: Test Board a microstriscia





Riferimenti

□ **Antenna Theory (analysis and design) – C. Balanis**

□ **Field Theory of Guided Waves, 2/e – R. Collin**

□ **ASITIC:**

<http://formosa.eecs.berkeley.edu/~niknejad/asitic.html>